

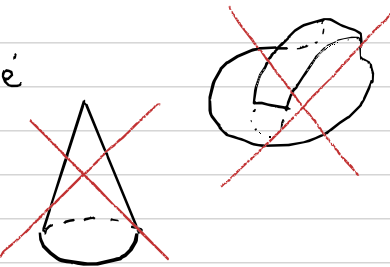
Superfici

Vogliamo definire, come per le curve, un'idea di superficie che corrisponda alla nostra intuizione.

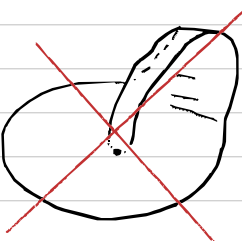


Vediamo innanzitutto che proprietà $\underline{x} : U \rightarrow \mathbb{R}^3$ in \mathbb{R}^2 desideriamo dalla mappa che parametrizzerà la superficie:

- non studiamo "superfici autointersecanti", ossia richiediamo \underline{x} iniettiva.



- non vogliamo "pti spigolosi" perché ci interessa definire i piani tangenti, dunque vogliamo \underline{x} liscia
- non vogliamo che la superficie si annicini indefinitivamente a un p.t., e dunque richiediamo omeomorfismi.



$$(u,v) \mapsto (x(u,v), y(u,v), z(u,v))$$

Def. Una mappa $C^\infty \underline{x} : U \rightarrow \mathbb{R}^3$ con $U \subseteq \mathbb{R}^2$ aperto si dice **PARAMETRIZZAZIONE REGOLARE** se:

- \underline{x} è iniettiva
- $\underline{x}_u \times \underline{x}_v \neq 0 \quad \forall (u,v) \in U$ (**regolarità**)
- \underline{x}^{-1} è continua

$$\rightsquigarrow \underline{x}_u \stackrel{\Delta}{=} \frac{\partial \underline{x}}{\partial u}, \quad \underline{x}_u \stackrel{\Delta}{=} (x_u, y_u, z_u)$$

Richiedere $\underline{x}_u \times \underline{x}_v \neq 0$ equivale a richiedere $\text{rg}(J(\underline{x})) = 2$, e quindi che la superficie ammetta sempre piani tangenti.

Def. Una **SUPERFICIE** è un insieme $S \subseteq \mathbb{R}^3$ t.c.
 $\forall p \in S \exists$ param. reg. la cui immagine sia contenuta
 in S e che sia intorno di p in S .

$\rightsquigarrow \underline{x}$ param. reg. $\Rightarrow \underline{x}(U)$ superficie.

Esempi.

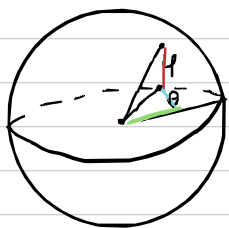
i) Sia $f: U \subseteq \mathbb{R}^2 \rightarrow \mathbb{R}$ C^∞ . Il grafico di f si parametrizza facilmente come $\underline{x}: (u, v) \mapsto (u, v, f(u, v))$.

Chiaramente \underline{x} è iniettiva e $J(\underline{x}) = \begin{bmatrix} 1 & 0 \\ 0 & 1 \\ fu & fv \end{bmatrix}$ ha sempre range 2. Inoltre l'inversa $\underline{x}^{-1}: (u, v, f(u, v)) \mapsto (u, v)$ è continua in quanto proiezione. Dunque \underline{x} è una parametrizzazione regolare e $\Gamma_f = \underline{x}(U)$ è superficie.

ii) Si consideri l'**elisoido** $\underline{x}: (u, v) \mapsto (u \cos(v), u \sin(v), bv)$ per $U = \{(u, v) \mid u > 0\}$ e $b \neq 0$. Questa corrisponde alla superficie generata da tutte le eliche destrose.

Si verifica facilmente che \underline{x} è una param. regolare.

iii)



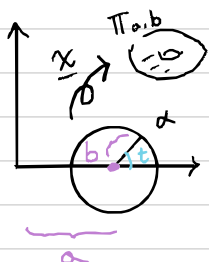
Sia $a > 0$. La **sfera** d. raggio a è parametrizzata come:

$$\underline{x}: (\theta, \varphi) \mapsto (a \cos(\varphi) \cos(\theta), a \cos(\varphi) \sin(\theta), a \sin(\varphi))$$

\underline{x} è una param. regolare, dunque la sfera è una superficie. Si può dimostrare lo stesso risultato considerando le funzioni $f_{\pm}(x, y) = \pm \sqrt{a^2 - x^2 - y^2}$, i cui grafici sono le semisfere.

IV. Superficie di rotazione

Consideriamo la curva $\alpha: \mathbb{R} \rightarrow \mathbb{R}^3$ t.c. $t \mapsto (\alpha(t), 0, b \sin(t))$.



L'idea è quella di ruotare α intorno all'asse z per ottenere una superficie (in questo caso un toro), utilizzando la mappa $\underline{x}: (u, v) \mapsto (f(u) \cos(v), f(u) \sin(v), g(u))$.

Si può astrarre questo procedimento a $f > 0$ e g più generiche, ottenendo una superficie di rotazione.

Q: in quali casi \underline{x} dà effettivamente luogo a una superficie?

Consideriamo il p.t. $\underline{x}(u_0, v_0)$. Vogliamo che \exists param. reg. per un suo intorno.

- Se esiste un intervallo $I \subseteq \mathbb{R}$ con $u_0 \in I$ t.c. $\alpha|I$ è iniettiva, allora $\underline{x}|_{I \times (v_0 - \pi, v_0 + \pi)}$ (i.e., "la rotazione di $\alpha|I$ di al più un giro) è iniettiva.

Infatti, se $u, u' \in I$ e $\underline{x}(u, v) = \underline{x}(u', v')$, allora i p.t. hanno stessa altezza e distano uguale dall'asse z , e quindi — essendo le distanze $f(u)$ e $f(u')$ — $\alpha(u) = \alpha(u') \xrightarrow{u \in I} u = u'$.

Infine, se $v, v' \in (v_0 - \pi, v_0 + \pi)$, $\underline{x}(u, v) = \underline{x}(u, v') \Rightarrow \cos(v) = \cos(v'), \sin(v) = \sin(v') \xrightarrow{\in (v_0 - \pi, v_0 + \pi)} v = v'$.

- Regolarità:** $\underline{x}_u(u, v) = (f'(u) \cos(v), f'(u) \sin(v), g'(u))$ e $\underline{x}_v(u, v) = (-f(u) \sin(v), f(u) \cos(v), 0)$.

Dunque $\underline{x}_u \times \underline{x}_v = (-g'(u) f(u) \cos(v), -g'(u) f(u) \sin(v), f'(u) f(u))$.

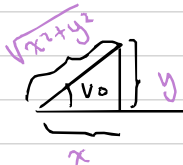
Se $\alpha|I$ è regolare, $\|\underline{x}_u \times \underline{x}_v\|^2 = g'(u)^2 f(u)^2 + f'(u)^2 f(u)^2 = f(u)^2 (\underbrace{f'(u)^2 + g'(u)^2}_{>0}) > 0 \Rightarrow \underline{x}_u \times \underline{x}_v \neq 0$ in $I \times (v_0 - \pi, v_0 + \pi)$.

• Continuità di \underline{x}^{-1} nell'intorno scelto: supponiamo che $d|_{\mathbb{I}}^{-1}$ sia continua (dunque "escludiamo i lacci"). (localmente)

Verifichiamo che sotto queste ipotesi $\underline{x}^{-1}|_{\underline{x}(I \times (v_0-\pi, v_0+\pi))}$ è continua intorno a $\underline{x}(s_0, v_0)$. continua

$$\Psi: (x, y, z) \mapsto (d^{-1}(\sqrt{x^2+y^2}, 0, z), \arccos(x/\sqrt{x^2+y^2}))$$

Inverte localmente e continuamente \underline{x} nel p.t. desiderato, a patto che $v_0 \notin \pi\mathbb{Z}$ (così non ci sono p.t. con stesso coseno). Se invece $v_0 \in \pi\mathbb{Z}$,



$$\Psi': (x, y, z) \mapsto (d^{-1}(\sqrt{x^2+y^2}, 0, z), \arctan(y/x))$$

Inverte " e " \underline{x} "

$J \triangleq$

• Ci serve che $\underline{x}(I \times (v_0-\pi, v_0+\pi))$ sia effettivamente un intorno di $\underline{x}(u_0, v_0)$. Mostriamo che $\underline{x}(I \times J)$ è un intorno mostrando che $\forall \{ \underline{x}(u_i, v_i) \}$ t.c. $\underline{x}(u_i, v_i) \rightarrow \underline{x}(u_0, v_0)$ si ha $\underline{x}_i \triangleq \underline{x}(u_i, v_i)$ definitivamente in $\underline{x}(I \times J)$.

Sia $\beta: (x, y, z) \mapsto (\sqrt{x^2+y^2}, 0, z)$. Si osserva che β è continua e che $\beta \circ \underline{x} = d$.

Allora $\underline{x}_i \rightarrow \underline{x}(u_0, v_0) \xrightarrow{\beta \circ} d(u_i) \rightarrow d(u_0)$. Analogamente, usando Ψ (se $v_0 \notin \pi\mathbb{Z}$) o Ψ' (se $v_0 \in \pi\mathbb{Z}$), si mostra che $u_i \rightarrow u_0$ (dunque u_i definitivamente in $(v_0-\pi, v_0+\pi)$).

Supponendo valga anche $d(u_i) \rightarrow d(u_0) \Rightarrow u_i \rightarrow u_0$, si avrebbe allora la tesi; quest'assunzione è equivalente a richiedere $\alpha(I)$ intorno di $\alpha(u_0)$.

Riassumendo tutte le assunzioni:

|| Data $\alpha: I \rightarrow \mathbb{R}^3$, $\alpha(u) = (f(u), 0, g(u))$ regolare e omeomorfismo locale, la sua superficie di rotazione è una superficie.

(dunque il Toro è una superficie).

V.) Superfici di livello

Sia $f: U \subseteq \mathbb{R}^3 \rightarrow \mathbb{R}$ C^∞ . Si dice che $a \in \mathbb{R}$ è un valore regolare per f se:

$$f^{-1}(a) = \emptyset \quad \text{o} \quad \nabla_p f \neq 0 \quad \forall p \in f^{-1}(a).$$

Teorema (della funzione implicita)

Sia $f: \mathbb{R}^{m \times m} \rightarrow \mathbb{R}^m$ C^n . Siano $x_0 \in \mathbb{R}^m$ e $y_0 \in \mathbb{R}^m$ t.c.

$$J_{f,y}(x_0, y_0) = \left[\frac{\partial f_i}{\partial x_j}(x_0, y_0) \right]_{\substack{i=1 \dots m \\ j=m+1 \dots m+m}}$$

sia invertibile. Allora $\exists U \subseteq \mathbb{R}^m$ intorno di x_0 , $V \subseteq \mathbb{R}^m$ int. di y , $g: U \rightarrow V$ C^n t.c. $\forall (x, y) \in U \times V$ $f(x, y) = f(x_0, y_0)$
 $\hookrightarrow y = g(x)$.

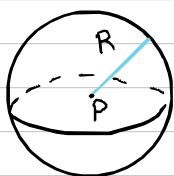
→ il teorema della fun imp. ci dice che le superfici di livello $f^{-1}(a)$ sono localmente dei grafici per $a \in \mathbb{R}$ regolare con $\nabla_p f \neq 0$. Infatti $\nabla_p f \neq 0$ implica che almeno una delle coordinate si scriva localmente in funzione delle altre. Essendo localmente un grafico, ogni sup. di livello regolare è una superficie.

Esempio. Dacché una sfera è il luogo dei p.ti t.c.

$$\|x - p\|^2 = R^2, \quad \text{una sfera è una superficie.}$$

Analogamente lo è un toro, dacché è il luogo dei p.ti soddisfacenti

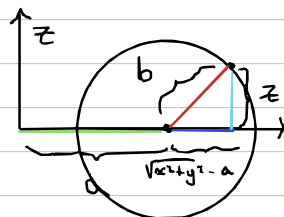
$$(\sqrt{x^2 + y^2} - a)^2 + z^2 = b^2.$$



$S_R(p)$



$T_{a,b}$



Piano tangente

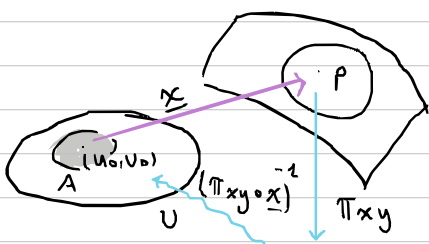
Sia $S \subseteq \mathbb{R}^3$ una superficie e $p \in S$. Vorremmo definire il piano tangente $T_p S$ come $\text{span}(\underline{x}_u(p), \underline{x}_v(p))$ (dove $\underline{x}_u(p) \triangleq \underline{x}_u(\underline{x}^{-1}(p))$, $\underline{x}_v(p) \triangleq \underline{x}_v(\underline{x}^{-1}(p))$).

Q. date due parametrizzazioni regolari: $\underline{x}, \underline{y}: U, V \rightarrow \mathbb{R}^3$ di un intorno di $p \in S$, ottengo lo stesso piano tangente? In altre parole, è vero che $\text{span}(\underline{x}_u(p), \underline{x}_v(p)) = \text{span}(\underline{y}_u(p), \underline{y}_v(p))$?

Teorema (d'invertibilità locale) Sia $f: U \subseteq \mathbb{R}^m \rightarrow \mathbb{R}^n$. Sia $x \in U$ t.c. $J_f(x)$ sia invertibile. Allora f è localmente invertibile intorno a x con inversa C^∞ .

→ osserviamo che una parametrizzazione regolare è un diffeomorfismo C^∞ , ovvero si ammette inversa C^∞ . Infatti, dalla regolarità si sa che:

$$rg(J_f(u_0, v_0)) = rg \begin{pmatrix} \underline{x}_u & \underline{x}_v \\ \underline{y}_u & \underline{y}_v \\ \underline{z}_u & \underline{z}_v \end{pmatrix} = 2 \Rightarrow \exists \text{ minore } 2 \times 2 \text{ in } J_{\underline{x}}(u, v) \text{ con } \det \neq 0.$$



Supponendo wlog $\det \begin{pmatrix} \underline{x}_u & \underline{x}_v \\ \underline{y}_u & \underline{y}_v \end{pmatrix} \neq 0$, si ha che $\pi_{xy} \circ \underline{x}: U \rightarrow \mathbb{R}^2$ è t.c.

$$J_{\pi_{xy} \circ \underline{x}}(u, v) = \begin{pmatrix} \underline{x}_u & \underline{x}_v \\ \underline{y}_u & \underline{y}_v \end{pmatrix}$$

è invertibile. Dunque, per il teo. d'invertibilità locale $\exists A \subseteq \mathbb{R}^2$ intorno di (u_0, v_0) t.c. $(\pi_{xy} \circ \underline{x})|_A$ sia invertibile con inversa C^∞ .

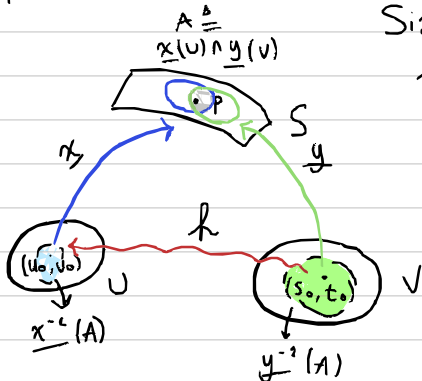
Allora $\underline{x}^{-1}|_{\pi_x(U)} = (\underbrace{\pi_{xy} \circ \underline{x}}_{C^\infty})^{-1} \circ \underbrace{\pi_{xy}|_{\pi_x(U)}}_{C^\infty}$ è C^∞ . Dunque \underline{x} è diffeomorfismo C^∞ . Dacché però \underline{x} è locale.

invertibile, \underline{x} è proprio un diffeomorfismo C^∞ .

(Infatti vuol dire che \underline{x}^{-1} è localmente C^∞ su un aperto, dunque \underline{x} è un diffeomorfismo C^∞)

Ora possiamo rispondere alla domanda di prima.

Consideriamo due param. regolari $\underline{x}, \underline{y}: U, V \rightarrow \mathbb{R}^3$ intorno a $p \in S$.



Sia $A \triangleq \underline{x}(U) \cap \underline{y}(V)$. Consideriamo
 $f: y^{-1}(A) \rightarrow x^{-1}(A)$ t.c.
 $f(s, t) = \underline{x}^{-1}(\underline{y}(s, t))$, detta
FUNZIONE DI TRANSIZIONE (dalle
word di y a quelle di x).

Essendo composizione di diffeo. C^∞ ,
 f è un diffeo. C^∞ (\underline{x}^{-1} è C^∞ ,
come visto prima).

Dunque:

$$J_y(s_0, t_0) = J_x(f(s_0, t_0)) \cdot J_f(s_0, t_0) = \begin{bmatrix} \underline{x}_u & \underline{x}_v \end{bmatrix} \begin{bmatrix} u_s & u_t \\ v_s & v_t \end{bmatrix} \Rightarrow$$

$$\Rightarrow \begin{cases} y_s(s_0, t_0) = \underline{x}_u(u_0, t_0) u_s(s_0, t_0) + \underline{x}_v(u_0, t_0) v_s(s_0, t_0) \\ y_t(s_0, t_0) = \underline{x}_u(u_0, t_0) u_t(s_0, t_0) + \underline{x}_v(u_0, t_0) v_t(s_0, t_0) \end{cases}$$

$$\Rightarrow \text{span}(y_s(p), y_t(p)) \subseteq \text{span}(\underline{x}_u(p), \underline{x}_v(p)) \Rightarrow \begin{array}{l} \text{Ugual dim. data} \\ \text{dalla regolarità} \end{array}$$

$$\Rightarrow \text{span}(y_s(p), y_t(p)) = \text{span}(\underline{x}_u(p), \underline{x}_v(p)) \quad \checkmark$$

Dunque la seguente è una buona definizione:

Def. Sia $S \subseteq \mathbb{R}^3$ una superficie e sia $p \in S$. Si definisce il
PIANO TANGENTE $T_p S$ come $\text{span}(\underline{x}_u(p), \underline{x}_v(p))$, dove
 \underline{x} è una param. regolare di S in un intorno di p .

Orientabilità e versore normale

Vogliamo definire un'idea di **orientabilità** per le superfici, ovvero sia essere in grado di classificare le superfici con "due facce" e quelle con "una".

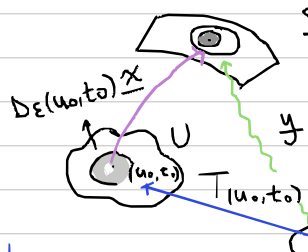
Per fare ciò useremo l'idea di versore normale. Data x parametrizz. definiamo:

$$M_x(p) \stackrel{\Delta}{=} (\underline{x}_u \times \underline{x}_v) / \| \underline{x}_u \times \underline{x}_v \| = \underline{x}_u \times \underline{x}_v$$

$$\in T_p S^\perp$$

Notiamo però che $M_x(p)$ e $M_y(p)$ in generale potrebbero avere segno opposto.

→ in generale ogni parametr. reg. $\underline{x} : U \rightarrow \mathbb{R}^3$ intorno a $p \in S$ può ridursi a una param. reg. $y : D_\epsilon(0) \rightarrow \mathbb{R}^3$



Infatti, preso $\epsilon > 0$ t.c. $D_\epsilon(s_0, t_0) \subseteq U$, la mappa dà $D_\epsilon(0)$ che prima trasla il disco su $D_\epsilon(s_0, t_0)$ ($T_{(u_0, t_0)}$) e poi applica \underline{x} e' un'altra param. reg.

Infatti se $\underline{x} : D_\epsilon(0) \rightarrow S$ è una param. reg., anche $y : D_\epsilon(0) \rightarrow S$ con $y(s, t) = \underline{x}(s, -t)$ è una param. reg. $(s, t) \mapsto (s, -t)$ è diffeo. C^∞ , ed è t.c.

$$y_s = \underline{x}_s, y_t = -\underline{x}_t \implies M_x(p) = -M_y(p).$$

Non è un caso aver "riflesso" il disco:

Prop. \underline{x} e y hanno stesso versore normale in $p \in S$ sse lo Jacobiano della funzione di transizione J_h ha determinante positivo (i.e., sse Tale Jacobiano preserva l'orientazione).

(infatti le riflessioni hanno determinante negativo)

Come visto prima:

$$[f(s, t) = (u(s, t), v(s, t))]$$

$$\begin{cases} y_s(s_0, t_0) = \underline{x}_u(u_0, t_0) u_s(s_0, t_0) + \underline{x}_v(v_0, t_0) v_s(s_0, t_0) \\ y_t(s_0, t_0) = \underline{x}_u(u_0, t_0) u_t(s_0, t_0) + \underline{x}_v(v_0, t_0) v_t(s_0, t_0) \end{cases}$$

Quindi:

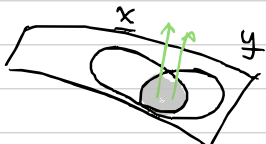
$$y_s \times y_t = (u_s v_t - u_t v_s) \underline{x}_s \times \underline{x}_t.$$

Da cui si deduce che le normali hanno stesso verso sse

$$u_s v_t - u_t v_s = \det \begin{pmatrix} u_s & u_t \\ v_s & v_t \end{pmatrix} = \det J_f(s_0, t_0) > 0.$$

□

Def. $S \subseteq \mathbb{R}^3$ si dice **ORIENTABILE** se è ricoperta di param. reg. t.c. a due a due, se l'intersezione delle immagini è non vuota, la funzione di transizione tra le due param. mantenga l'orientazione, ossia con $\det(J_f) > 0$ (condizione di compatibilità).



Esempio. le param. regolari inducono superfici orientabili (ricopribili, per l'appunto, con un'unica parametrizzazione). Quindi la sfera, il Toro, i grafici e le elicoidi sono superfici orientabili.

Prop. Sia $S \subseteq \mathbb{R}^3$ superficie. Una funzione $f: S \rightarrow \mathbb{R}$ è continua sse $\forall \underline{x}$ par. reg. di un intorno di $p \in S$, $f \circ \underline{x}$ è continua.

(\Rightarrow) banale (comp. di continue)

(\Leftarrow) f è continua sse è localmente continua. Dato $p \in S \exists \underline{x}$ param. reg. $U \rightarrow S$ con $\underline{x}(U)$ intorno di p . Allora $\underline{x}^{-1} \circ f \circ \underline{x}|_{\underline{x}(U)} = f|_{\underline{x}(U)}$ è continua $\Rightarrow f$ è loc. continua. □

Prop. $S \subseteq \mathbb{R}^3$ è orientabile sse $\exists \underline{m}: S \rightarrow \mathbb{R}^3$ continua t.c. $\|\underline{m}(p)\| = 1$ e $\text{span}(\underline{m}(p)) = (\mathbf{T}_p S)^\perp \quad \forall p \in S$.



(\Rightarrow) basta porre $\underline{m}(p) = m\underline{x}(p)$ dove $\underline{x}: U \rightarrow S$ una q.s. param. reg. con $p \in S$. Questa data è una buona def., dal momento che param. intersecanti sono compatibili: avendo funz. di transizione con Jacobiano a determinante positivo (vd. penultima proposizione). Inoltre \underline{m} è loc. continua $\Rightarrow \underline{m}$ è continua.

(\Leftarrow) Sia $p \in S$ e sia \underline{x}_p una param. reg. da $D_{\underline{x}}(0)$ a un int. di p . Se $m\underline{x}_p(p) = \underline{m}(p)$, si sceglie $y_p \triangleq \underline{x}_p$; se invece $m\underline{x}_p(p) = -\underline{m}(p)$, si sceglie $y_p \triangleq [(s,t) \mapsto \underline{x}_p(s,t)]$. In ogni caso $M_{y_p}(p) = \underline{m}(p)$ per costruzione. Osserviamo allora che $\forall (s,t) \in D_{\underline{x}}(0)$, $M_{y_p}(y_p(s,t)) = \underline{m}(y_p(s,t))$:

$f: D_{\underline{x}}(0) \rightarrow \{\pm 1\}$ t.c. $f(s,t) = M_{y_p}(y_p(s,t)) \cdot \underline{m}(y_p(s,t))$ è continua e dunque deve essere costante daccché $\{-1\}$ e $\{+1\}$ sono due comp. conn. distinte di $\{\pm 1\}$. Allora $f(s,t) = f(y_p^{-1}(p)) = 1 \Rightarrow M_{y_p}(y_p(s,t)) = \underline{m}(y_p(s,t))$.

Dunque $\{y_p\}_{p \in S}$ è il ricoprimento cercato: le param. sono compatibili daccché condividono la stessa normale \underline{m} (vd. penultima proposizione). \square

\leadsto da quest'ultima prop. si deduce subito che, se $a \in \mathbb{R}$ è regolare per $f: A \subseteq \mathbb{R}^3 \rightarrow \mathbb{R}$ C^∞ e $f^{-1}(a) \neq \emptyset$, $f^{-1}(a)$ è orientabile — infatti $\underline{m}(p) = \nabla_p f / \|\nabla_p f\|$ è continua e ortogonale a $\nabla_p f$:

$$= \underline{x}(s_0, t_0)$$

Se $\underline{x}: U \rightarrow S$ è una param. reg. intorno a $p \in S$, si ha $(f \circ \underline{x})(s, t) = a \Rightarrow \nabla_p f \cdot [\underline{x}_s \quad \underline{x}_t]_p = 0$

$$\Rightarrow \nabla_p f \cdot \underline{x}_s = \nabla_p f \cdot \underline{x}_t = 0 \Rightarrow$$

$$\nabla_p f \in \mathbf{T}_p S^\perp$$